

УДК 621.317

© 1992

ОСОБЕННОСТИ МАГНИТНОГО УПОРЯДОЧЕНИЯ В МОНОКРИСТАЛЛАХ ВЫШЕГО СИЛИЦИДА МАРГАНЦА С НЕСОРАЗМЕРНОЙ СТРУКТУРОЙ

*Л. И. Винокурова, А. В. Власов, А. Э. Енгалычев,
В. К. Зайцев, В. Ю. Иванов*

Исследованы полевые зависимости удельной намагниченности чистых и легированных хромом и германием монокристаллов высшего силицида марганца ($\text{BCM} = \text{MnSi}_{1.71-1.75}$) при 4.2 K в слабых (до 1 кЭ) и сильных (до 150 кЭ) магнитных полях. Обнаружено, что замещение части атомов марганца на атомы хрома или атомов кремния на атомы германия приводят сначала к появлению парамагнетизма, а начиная с некоторой критической концентрации легирующих элементов — ферромагнетизма. Температуры Кюри T_c легированных образцов BCM определены из температурных зависимостей дифференциальной намагнитной восприимчивости, измеренных на переменном токе (частота 250 Гц) и из построения кривых Белова—Аррота. Показано, что в системе твердых растворов $\text{Mn}_{1-x}\text{Cr}_x\text{Si}_{1.7}$ ($0 < x < 0.24$) намагниченность и T_c монотонно увеличиваются с увеличением концентрации хрома. В образах BCM, легированных германием, спонтанная намагниченность также увеличивается при увеличении концентрации германия, в то время как T_c остается практически постоянной и равной $\approx 16 \text{ K}$.

Анализ полученных результатов показывает, что в случае BCM ферромагнитное упорядочение, вероятно, может возникать в результате как повышения концентрации носителей тока (при легировании хромом), так и воздействия примесей на диаграмму несоразмерного состояния (в случае легирования германием).

В [1, 2] показано, что семейство кристаллических структур, наблюдаемых экспериментально в монокристаллах высшего силицида марганца ($\text{BCM} = \text{MnSi}_{1.71-1.75}$), может быть описано на основе представлений о жесткой подрешетке марганца и относительно «мягкой» подрешетке кремния, параметр которой в направлении тетрагональной оси C зависит от состава и в общем случае несоизмерим с параметром подрешетки марганца. Одним из следствий несоизмеримости подрешеток марганца и кремния является солитонный характер сверхупорядочения, приводящий к когерентной гетерогенизации, проявляющейся в появлении правильной слоистой структуры выделений MnSi в виде второй фазы, располагающихся в монокристаллах BCM перпендикулярно оси C , и сильной анизотропии физических свойств [2].

Сведения о зонной структуре BCM к настоящему времени весьма ограничены. Из измерений кинетических коэффициентов [3] установлено, что BCM является самолегированным полупроводником p -типа с высокой концентрацией дырок ($p \sim 10^{21} \text{ см}^{-3}$). Эффективная масса дырок, оцененная из термоэдс и спектров плазменного отражения, при этом составляет $\sim 10m_0$ (m_0 — масса свободного электрона), что свидетельствует об узости валентной зоны [3]. Оптическая ширина запрещенной зоны при $T \approx 300 \text{ K}$ составляет $0.67 \pm 0.01 \text{ эВ}$ и близка к ширине запрещенной зоны, определенной из анализа кинетических коэффициентов [4].

Сложная кристаллическая структура, солитонный характер сверхупорядочения, приводящий к когерентной гетерогенизации образца, наличие переходного элемента как в матрице, так и в микровыделениях в значительной степени

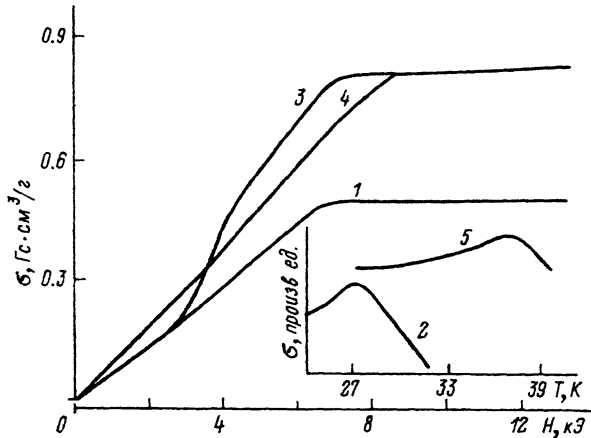


Рис. 1. Зависимость намагниченности σ от величины магнитного поля при $T = 4.2$ К и температуры в нелегированных образцах ВСМ:

1, 2 — монокристалл ВСМ с прослойками MnSi в виде второй фазы (1 — закаленный, 2 — медленно охлажденный, $H = 220$ Э); 3—5 — монокристаллы MnSi_{1.75} без прослойок MnSi (3 — $H \perp C$; 4, 5 — $H \parallel C$; 5 — $H = 400$ Э).

осложняют исследования магнитных свойств ВСМ. В [5] было показано, что нелегированный, без пластинчатых выделений MnSi, ВСМ диамагнетен (восприимчивость $\chi = -410^{-7} \text{ см}^3 \cdot \text{г}^{-1}$). Однако присутствие геликоидальной антиферромагнитной фазы MnSi, упорядочивающейся при $T = 29$ К, приводит к преобладанию положительного вклада в восприимчивость. Необходимо отметить, что введение избыточного по сравнению со стехиометрией количества кремния приводит не только к исчезновению пластинчатых выделений MnSi, но и к разупорядочению солитонной структуры ВСМ. В [6] в результате комплексного исследования намагниченности, магнитной восприимчивости, дифракции электронов и малоуглового рассеяния нейтронов в образце ВСМ состава Mn₂₇Si₄₇ установлено, что в ВСМ при $T < 42$ К наблюдается магнитное упорядочение зонного типа, не связанное с присутствием MnSi. Причем период спиральной спиновой структуры (163 Å) несоизмерим с периодом решетки.

В связи с вышеизложенным представляется заслуживающим внимания проведение исследований магнитных свойств нелегированных монокристаллов ВСМ и влияние на них электроактивных и изовалентных примесей, введение которых может привести как к изменению концентрации носителей тока, так и к трансформации несоразмерного состояния ВСМ. В настоящей работе изменение концентрации носителей тока достигалось замещением части атомов марганца в ВСМ на атомы, имеющие на один валентный электрон больше, а в качестве электронейтральной использовалась примесь германия, введение которой вероятнее всего приводит к сильной деформации диаграммы несоразмерного состояния.

Исследование намагниченности в слабых и сильных (до 140 кЭ) магнитных полях ряда нелегированных образцов ВСМ показало, что во всех образцах наблюдалась положительная намагниченность, однако характер ее зависимости от величины магнитного поля и температуры оказался различным для разных составов и режимов термообработки (рис. 1).

Так, у одной группы образцов изотропная и близкая к линейной зависимость намагниченности от величины магнитного поля при 4.2 К сменялась в полях $> 6 \pm 7$ кЭ более слабой зависимостью (рис. 1, кривые 1, 4). Характерная величина восприимчивости в сильных полях составляла при этом $\sim 10^{-6} \text{ см}^3/\text{г}$. Эта величина восприимчивости соответствует значению поля 6.2—6.7 кЭ, при котором возникает индуцированное ферромагнитное состояние в антиферромагнитном MnSi [7]. Величина намагниченности при $H > 7$ кЭ составляла для разных образцов от 0.6

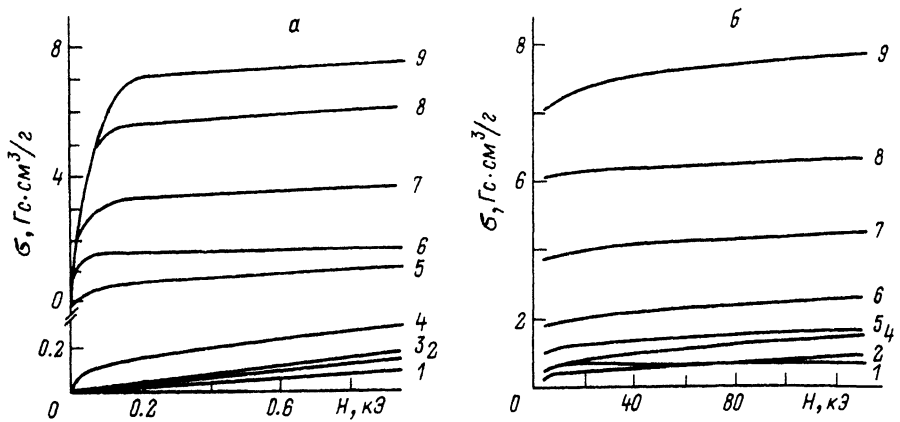


Рис. 2. Полевые зависимости удельной намагниченности твердых растворов $Mn_{1-x}Cr_xSi_{1.7}$ и $Mn(Si_{1-y}Ge_y)_{1.7}$, измеренные при 4.2 К в слабых (а) и сильных (б) магнитных полях.
 $x = 0(1), 0.007(2), 0.012(3), 0.07(4), 0.15(5), 0.24(6), 0.005(7), 0.005(8), 0.012(9)$.

до $1.5 \text{ Гс} \cdot \text{см}^3/\text{г}$. На температурных зависимостях намагниченности, измеренных в слабых магнитных полях ($< 1 \text{ кЭ}$), у таких образцов наблюдалась аномалия при $T = 27.5 \text{ К}$ (рис. 1, кривая 2), что близко к значению $T = 29 \text{ К}$ для антиферромагнитной фазы MnSi. Наличие объемных выделений MnSi в виде второй фазы подтверждается электронно-микроскопическим исследованием шлифов и является причиной положительного вклада в намагниченность. Необходимо отметить, что специальной термообработкой можно получить либо очень тонкую структуру выделений MnSi, либо их видимое отсутствие. Однако из магнитных измерений следует, что вклад, вносимый MnSi, все равно существует, хотя и уменьшается по абсолютной величине. (рис. 1, кривая 1).

У образцов третьей группы зависимость намагниченности от магнитного поля оказалась анизотропной: плавной с насыщением в поле 10 кЭ при $H \parallel C$ и более резкой с насыщением в поле 7 кЭ при $H \perp C$ (рис. 1, кривые 3, 4). Такой ход намагниченности соответствует зависимости от магнитного поля интегральной интенсивности магнитных рефлексов, приведенных в [6]. На температурной зависимости намагниченности, измеренной в слабых полях, у таких образцов аномалия наблюдалась при $T = 38 \text{ К}$ (рис. 1, кривая 5), что близко к значению $T_N = 42 \text{ К}$ из работы [6]. Можно заключить, что в данных образцах действительно возникает длиннопериодическая спиральная спиновая структура. Из характерного значения намагниченности $\sigma = 0.75 \text{ Гс} \cdot \text{см}^3/\text{г}$ получаем $\mu_{\text{Mn}} = 0.014 \mu_B$, что совпадает со значением, приведенным в [6].

Рассмотрим теперь влияние примесей на характер магнитного упорядочения ВСМ.

На рис. 2 приведены полевые зависимости удельной намагниченности ВСМ, легированного хромом и германием, при 4.2 К в слабых магнитных полях до 1 кЭ и сильных полях до 150 кЭ . Как следует из этого рисунка, замещение части атомов марганца на атомы хрома или атомов кремния на атомы германия приводит сначала к появлению параметризма (полосы MnSi при таком замещении исчезают), а затем, начиная с некоторых критических концентраций легирующих элементов, — ферромагнетизма. Ферромагнитные кристаллы обладают заметной анизотропией, и осью трудного намагничивания при этом является ось C . Из измерений в сильных магнитных полях (до 150 кЭ) следует, что в исследуемых образцах и выше поля весьма велик парапроцесс: даже в поле 100 кЭ восприимчивость парапроцесса составляет $6 \cdot 10^{-6} \text{ см}^3/\text{г}$ и полного насыщения в полях до 150 кЭ при 4.2 К не достигается.

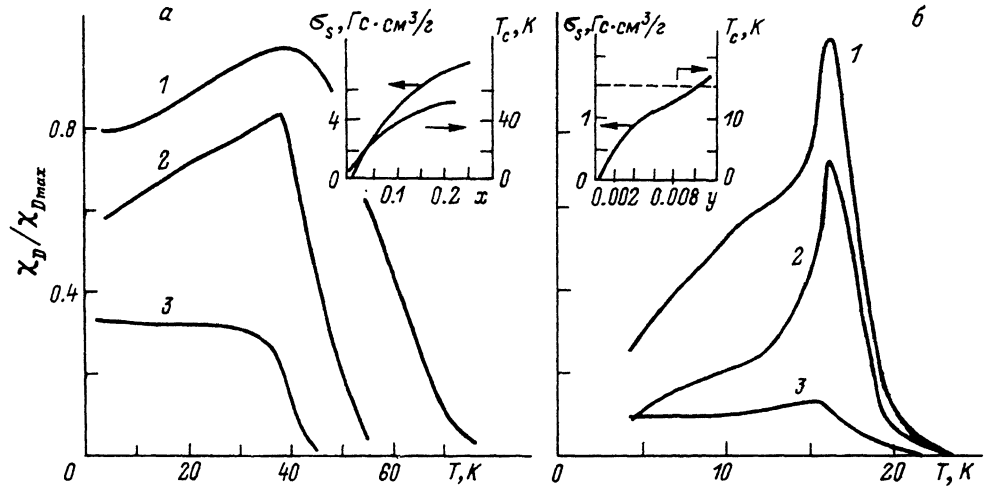


Рис. 3. Температурные зависимости дифференциальной магнитной восприимчивости χ и концентрационные зависимости спонтанной намагниченности σ_s и температуры Кюри (T_c).

a: $Mn_{1-x}Cr_xSi_{1.7}$. $x = 1 - 0.24, 2 - 0.15, 3 - 0.07$; *b*: $Mn(Si_{1-y}Ge_y)_{1.7}$. $y = 1 - 0.012, 2 - 0.011, 3 - 0.005$.

На рис. 3 приведены температурные зависимости дифференциальной магнитной восприимчивости χ легированных образцов ВСМ, измеренные на переменном токе (частота 250 Гц), из которых, так же как и из построения кривых Белова—Аррота $\sigma^2 = f(H/\sigma)$, могут быть определены температуры Кюри веществ.

Концентрационные зависимости величин спонтанной намагниченности и температуры Кюри твердых растворов ВСМ с хромом и германием представлены на рис. 3. Как следует из этого рисунка, в обеих системах твердых растворов спонтанная намагниченность монотонно увеличивается с ростом концентрации легирующего компонента, а температура Кюри в случае растворов $Mn_{1-x}Cr_xSi_{1.7}$ также растет с ростом x , однако для системы $Mn(Si_{1-y}Ge_y)_{1.7}$ температура Кюри остается практически постоянной и равной 16 К. Температурные зависимости магнитной восприимчивости нескольких образцов ВСМ, легированных хромом и германием, измеренные до $T = 300$ К, показывают, что имеются заметные отклонения от закона Кюри—Вейса по крайней мере в исследованном диапазоне температур (рис. 4).

В таблице приведены значения магнитных моментов, приходящихся на магнитоактивные атомы металла, определенные из спонтанной намагниченности q_s и оцененные из парамагнитной восприимчивости в области температур, немного превышающих температуры Кюри (80—140 К) — (q_c) , а также отношение этих величин для образцов с предельными концентрациями легирующих элементов.

Малые значения q_s , большие значения q_c/q_s , хорошо согласующиеся с данными [6] (по которым q_c/q_s составляет 6.8), а также довольно низкие значения температуры Кюри и большая восприимчивость в сильных полях дают основания предположить зонный характер магнетизма в рассматриваемых системах, что подтверждается температурным ходом спонтанной намагниченности. Этот ход гораздо лучше описывается зависимостью $\sigma_s = f(T^2)$, обусловленной стонеровскими возбуждениями, чем зависимостью $\sigma_s = f(T)$.

Вещество	q_s	q_c	q_c/q_s
$Mn_{0.76}Cr_{0.24}Si_{1.683}$	0.13	0.76	5.8
$Mn(Si_{0.988}Ge_{0.012})_{1.704}$	0.03	0.22	7.3

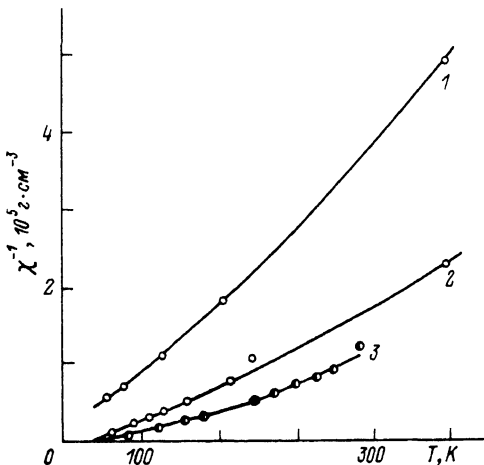


Рис. 4. Температурные зависимости обратной магнитной восприимчивости.

1 — Mn_{(Si_{0.988}Ge_{0.012})_{1.7}}, 2 — Mn_{0.95}Cr_{0.05}Si_{1.7}, 3 — Mn_{0.76}Cr_{0.24}Si_{1.683}.

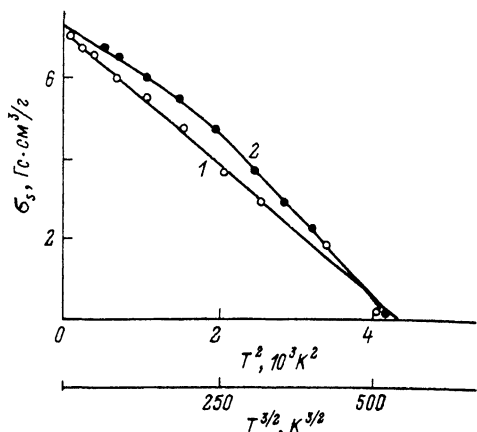


Рис. 5. Зависимость спонтанной намагниченности σ_s от температуры от T^2 (1) и $T^{3/2}$ (2).

($T^{3/2}$), вызываемой возбуждением спиновых волн (рис. 5). Наиболее удивительным результатом является постоянство температуры Кюри ВСМ, легированного германием, в то время как его намагниченность растет с ростом концентрации легирующего элемента. Такая ситуация возможна, если ферромагнетизм возникает не однородно по всему образцу, а в некоторых областях конечных размеров, характеризующихся вполне определенной температурой Кюри; тогда спонтанная намагниченность определяется количеством таких областей в единице объема. Особенности кристаллического строения ВСМ, легированного германием, способствуют именно такому «зародышевому» возникновению ферромагнетизма, поскольку при введении атомов германия возможно локальное разрушение солитонной структуры.

В твердых растворах ВСМ с дисилицидом хрома, по-видимому, реализуется ситуация, аналогичная наблюдаемой в системе Fe_xCo_{1-x}Si, в которой возникает магнитное упорядочение (при $x = 0.25 \div 0.95$), хотя исходные вещества слабо магнитны (FeSi парамагнитен, CoSi диамагнитен [8]). Смещение уровня Ферми в глубь зоны при замещении марганца на хром приводит к выполнению критерия Сторнера: $J N(E_f) > 1$, где J — интеграл обменного взаимодействия, $N(E_f)$ — плотность состояний на уровне Ферми.

Таким образом, ферромагнитное упорядочение в ВСМ может возникать в результате как увеличения концентрации носителей тока, так и воздействия примесей на диаграмму несоразмерного состояния.

Список литературы

- [1] Зайцев В. К., Ордин С. В., Рахимов К. А., Енгалычев А. Э. // ФТТ. 1981. Т. 23. № 2. С. 621—623.
- [2] Зайцев В. К., Енгалычев А. Э., Ктигоров С. А., Петров Ю. В., Рахимов К. А. // Препринт ФТИ им. А. Ф. Иоффе АН СССР. 1983. № 856. 48 с.
- [3] Зайцев В. К., Федоров М. И., Рахимов К. А., Енгалычев А. Э., Попов В. В. // ФТТ. 1984. Т. 26. № 3. С. 819—824.
- [4] Зайцев В. К., Ордин С. В., Тарасов В. И., Федоров М. И. // ФТТ. 1979. Т. 21. № 8. С. 2517—2520.
- [5] Levinson L. M. // J. Sol. St. Chem. 1973. V. 6. P. 126—135.

- [6] Nakamjima T., Schelten T. // J. of Magnetism and Magn. Mater. 1980. V. 21. P. 157—166.
- [7] Williams H. J., Wernick J. H., Sherwood R. C., Wertheim G. K. // J. Appl. Phys. 1966. V. 37. N 3. P. 1256.
- [8] Гельд П. В., Повзнер А. А., Страшников О. Г. // ДАН СССР. 1984. Т. 274. № 2. С. 304—308.

Физико-технический институт
им. А. Ф. Иоффе РАН
Санкт-Петербург

Поступило в Редакцию
3 апреля 1992 г.
